

文章编号: 1000-324X(2016)08-0841-04

DOI: 10.15541/jim20160016

# TiO<sub>2</sub>/Co<sub>3</sub>O<sub>4</sub>复合纳米颗粒的制备及其光催化制氢性能

马雅婷, 李巧玲

(中北大学 理学院, 太原 030051)

**摘要:** 通过碳辅助法和溶胶-凝胶法制备了具有可见光下光催化制氢性能的 TiO<sub>2</sub>/Co<sub>3</sub>O<sub>4</sub> 复合纳米颗粒。采用 X 射线衍射仪(XRD)、透射电子显微镜(TEM)和高分辨率透射电子显微镜(HRTEM)，以及紫外可见分光光度计表征了复合纳米颗粒的晶体结构、微观形貌和紫外-可见光谱吸收能力。结果表明，制备的复合纳米颗粒具有良好的晶型、结构以及紫外可见光吸收能力。实验测试了 TiO<sub>2</sub>/Co<sub>3</sub>O<sub>4</sub> 复合纳米颗粒在模拟太阳光下的光催化制氢性能，并研究了其光催化制氢的可重复利用性。结果表明，在模拟太阳光照射下，该复合纳米颗粒催化纯水产生氢气的速率约为 8.25 μmol/(g·h)，且该复合纳米颗粒具有良好的可重复利用性。

**关键词:** 二氧化钛; 四氧化三钴; 复合纳米颗粒; 光催化制氢

中图分类号: TB383 文献标识码: A

## Preparation and Characterization of TiO<sub>2</sub>/Co<sub>3</sub>O<sub>4</sub> Nanocomposites and Their Photocatalytic Activity for Hydrogen Evolution

MA Ya-Ting, LI Qiao-Ling

(School of Science, North University of China, Taiyuan 030051, China)

**Abstract:** TiO<sub>2</sub>/Co<sub>3</sub>O<sub>4</sub> nanocomposites with photocatalytic activity for hydrogen evolution under visible light were prepared via carbon assistant method and Sol-Gel method. X-Ray Diffraction (XRD), Transmission Electron Microscope(TEM), High Resolution Transmission Electron Microscope(HRTEM) and UV-Vis spectrophotometer were used to characterize the samples' crystal structure, morphology and absorptivity of ultra-violet and visible light. The characterization results demonstrate that the prepared nanocomposites have good crystal form, structure and absorptivity of both ultraviolet and visible light. The photocatalytic activity of TiO<sub>2</sub>/Co<sub>3</sub>O<sub>4</sub> nanocomposites for hydrogen evolution under simulated sunlight was tested and their reusability was also investigated. The results show that the photocatalytic hydrogen evolution of pure water over the TiO<sub>2</sub>/Co<sub>3</sub>O<sub>4</sub> nanocomposites is about 8.25 μmol/(g·h) under simulated sunlight. And the nanocomposites possess ideal reusability.

**Key words:** titanium dioxide, cobalt oxide, nanocomposite, hydrogen evolution under photocatalysis

氢气是典型的绿色能源之一，具有高质能比、清洁无污染和可存储运输等优点<sup>[1]</sup>。利用太阳能分解水制备氢气已成为当前备受关注的研究课题之一<sup>[2]</sup>。从

日本研究者 Fujishima 和 Honda 发现 TiO<sub>2</sub> 单晶电极光催化分解水产生氢气以来，TiO<sub>2</sub> 一直是备受瞩目的光催化剂<sup>[3]</sup>。但 TiO<sub>2</sub> 单晶的禁带较宽(3.2 eV)，只

收稿日期: 2016-01-06; 收到修改稿日期: 2016-03-04

基金项目: 国家自然科学基金(51272239, 20871108); 山西省留学基金(2014-重点 6)

National Natural Science Foundation of China (51272239, 20871108); Study Abroad Fund Project of Shanxi Province (2014-6)

作者简介: 马雅婷(1990-), 女, 硕士研究生. E-mail: yatingm@163.com

通讯作者: 李巧玲, 教授. E-mail: qiaolingl@163.com

能在紫外光下产生催化作用。并且在  $\text{TiO}_2$  单晶中光生电子和空穴的复合速率很快, 大大影响了它的光解水速率。研究人员采用添加牺牲剂、离子掺杂、贵金属负载、敏化作用等方法来改善  $\text{TiO}_2$  的光催化制氢性能。例如, 在  $\text{S}^{2-}/\text{SO}_3^{2-}$  牺牲剂体系中, 2个空穴与  $\text{S}^{2-}$  反应形成  $\text{S}$ , 大大提高了自由电子的数量, 进而提高  $\text{TiO}_2$  光解水的速率<sup>[4]</sup>。过渡金属离子和稀土金属离子对  $\text{TiO}_2$  的掺杂, 能够大大拓宽  $\text{TiO}_2$  的吸收光谱范围, 从而提高其光解水性能<sup>[5]</sup>。Pt、Au 和 Ag 等贵金属负载到  $\text{TiO}_2$  表面后, 电子从  $\text{TiO}_2$  表面转移到贵金属颗粒, 降低了光生电子和空穴的复合几率, 从而改善了  $\text{TiO}_2$  的光催化性能<sup>[6]</sup>。一些染料通过与  $\text{TiO}_2$  复合, 在可见光照射下将自身产生的电子注入到  $\text{TiO}_2$  导带中参与光催化反应, 从而实现了  $\text{TiO}_2$  的可见光催化制氢<sup>[7]</sup>。

$\text{Co}_3\text{O}_4$  是典型的过渡金属氧化物, 虽然带边位置不满足光催化制氢条件, 但其具有较窄的禁带宽度和较强的可见光吸收能力<sup>[8]</sup>。 $\text{Co}_3\text{O}_4$  与  $\text{TiO}_2$  复合将有效提高  $\text{TiO}_2$  的可见光吸收能力, 并使其在可见光下具有光催化制氢的能力<sup>[9-10]</sup>。本工作采用碳辅助法和溶胶-凝胶法制备  $\text{TiO}_2/\text{Co}_3\text{O}_4$  复合纳米颗粒, 通过 XRD、TEM、HRTEM 和紫外可见吸收光谱进行了表征。实验还测试了  $\text{TiO}_2/\text{Co}_3\text{O}_4$  复合纳米颗粒在模拟太阳光下的光催化制氢性能, 并研究了其光催化制氢的可重复利用性。

## 1 实验方法

### 1.1 $\text{Co}_3\text{O}_4$ 纳米颗粒的制备

采用碳辅助法制备  $\text{Co}_3\text{O}_4$  纳米颗粒(见图 1 第一步)。将  $\text{Co}(\text{NO}_3)_2 \cdot 6\text{H}_2\text{O}$ (国药, 分析纯)溶解于去离子水中, 配制成浓度为 3 mol/L 的  $\text{Co}(\text{NO}_3)_2$  水溶液。取 1.5 g 的脱脂棉, 剪碎, 浸泡在  $\text{Co}(\text{NO}_3)_2$  水溶液中。超声 30 min 后, 将上述脱脂棉转移到石英培养皿中, 并将石英培养皿放入程控管式炉(合肥晶科,

GSL-1500X-OTF)中, 在 600°C 空气氛围中加热 2 h。产物清洗干燥后得到  $\text{Co}_3\text{O}_4$  纳米颗粒。

### 1.2 $\text{TiO}_2/\text{Co}_3\text{O}_4$ 复合纳米颗粒的制备

采用溶胶-凝胶法制备  $\text{TiO}_2/\text{Co}_3\text{O}_4$  复合纳米颗粒(见图 1 第二步)。按摩尔比为 20:1 称取钛酸正丁酯( $\text{C}_{16}\text{H}_{36}\text{O}_4\text{Ti}$ , TBOT)(北京化学试剂厂, 分析纯)和制备的  $\text{Co}_3\text{O}_4$  纳米颗粒待用。按 TBOT:乙醇(EtOH):水( $\text{H}_2\text{O}$ ):硝酸( $\text{HNO}_3$ )的体积比为 30.3:12.5:1:0.2 称取乙醇、水和硝酸。先将乙醇加入到烧杯中, 在磁力搅拌下慢慢滴入硝酸, 然后依次加入 TBOT 和  $\text{Co}_3\text{O}_4$  纳米颗粒。再逐滴加入去离子水并快速搅拌。将烧杯置于超声波清洗机中超声 30 min 后, 静置陈化反应 10 h。最后将反应物转移到石英培养皿中, 在 500°C 条件下加热 3 h。产物清洗干燥得到  $\text{TiO}_2/\text{Co}_3\text{O}_4$  复合纳米颗粒。

### 1.3 样品的表征

采用 X 射线衍射仪(XRD, Bruker D8)检测样品的晶体结构, 用透射电子显微镜和高分辨率透射电子显微镜(TEM&HRTEM, JEOL JEM-2011)观察样品形貌, 用紫外-可见分光光度计(UV-Vis spectrophotometer, Cary 300)测试样品的紫外可见吸收光谱。

### 1.4 光催化制氢测试

本实验平台使用氘灯光源来模拟太阳光, 通过光催化集气装置(上海乔枫, BGH-QF-PLH2)收集产生的氢气, 采用气相色谱仪(上海灵华仪器, GC-9890B)分析气体含量。首先取纯水 200 mL, 在纯水中加入 0.02 g  $\text{TiO}_2/\text{Co}_3\text{O}_4$  复合纳米颗粒作为光催化剂。超声分散 20 min 后, 接入光催化集气装置。打开氘灯光源开始实验, 每隔 1 h 测定一次气体含量。

## 2 结果与讨论

### 2.1 样品表征分析

图 2 为制备的  $\text{Co}_3\text{O}_4$  纳米颗粒、 $\text{TiO}_2$  纳米颗粒以及  $\text{TiO}_2/\text{Co}_3\text{O}_4$  复合纳米颗粒的 XRD 图谱。图 2(a)

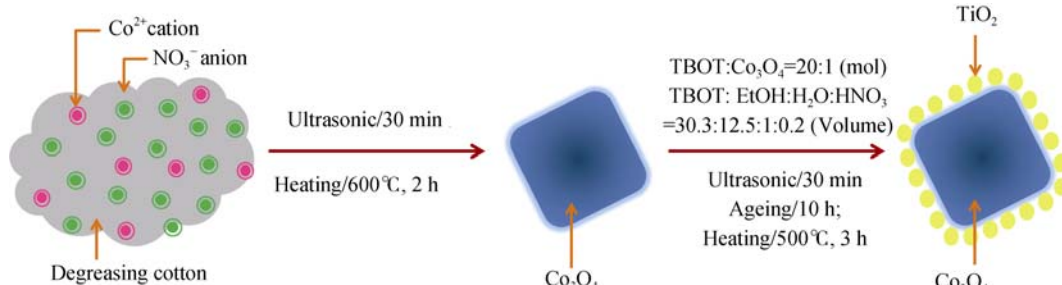


图 1  $\text{Co}_3\text{O}_4$  纳米颗粒及  $\text{TiO}_2/\text{Co}_3\text{O}_4$  复合纳米颗粒的制备路线图  
Fig. 1 Preparation routes for  $\text{Co}_3\text{O}_4$  nanoparticles and  $\text{TiO}_2/\text{Co}_3\text{O}_4$  nanoparticles

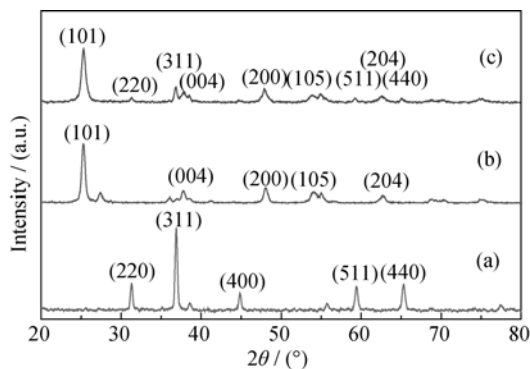


图 2 (a) $\text{Co}_3\text{O}_4$ 、(b) $\text{TiO}_2$  和(c) $\text{TiO}_2/\text{Co}_3\text{O}_4$  纳米颗粒的 XRD 图谱

Fig. 2 XRD patterns of (a)  $\text{Co}_3\text{O}_4$ , (b)  $\text{TiO}_2$  and (c)  $\text{TiO}_2/\text{Co}_3\text{O}_4$  nanoparticles

中位于  $2\theta=31.2^\circ$ 、 $36.7^\circ$ 、 $44.8^\circ$ 、 $59.4^\circ$  以及  $65.1^\circ$  的衍射峰分别对应于标准尖晶石型  $\text{Co}_3\text{O}_4$  结构(JCPDS 42-1467)的(220)、(311)、(400)、(511)及(440)晶面<sup>[11]</sup>。图 2(b)中位于  $2\theta=25.2^\circ$ 、 $37.7^\circ$ 、 $48.1^\circ$ 、 $53.8^\circ$ 、 $62.7^\circ$  的特征峰分别对应锐钛矿型  $\text{TiO}_2$  结构(JCPDS 21-1272)的(101)、(004)、(200)、(105)及(204)晶面<sup>[12]</sup>。图 2(c)中衍射峰包含了  $\text{Co}_3\text{O}_4$  结构的(220)、(311)、(511)和(440)晶面以及  $\text{TiO}_2$  结构的(101)、(004)、(200)、(105)和(204)晶面的衍射峰, 表明实验成功合成了具有锐钛矿型  $\text{TiO}_2$  结构和尖晶石型  $\text{Co}_3\text{O}_4$  结构的  $\text{TiO}_2/\text{Co}_3\text{O}_4$  复合纳米颗粒。

为了表征制备的  $\text{TiO}_2/\text{Co}_3\text{O}_4$  复合纳米颗粒的形

貌, 采用 TEM 和 HRTEM 对  $\text{TiO}_2/\text{Co}_3\text{O}_4$  复合纳米颗粒进行了观察分析。图 3(a)显示了  $\text{TiO}_2/\text{Co}_3\text{O}_4$  复合纳米颗粒的整体形貌, 从图中可以看出, 中心深黑色方形大颗粒为  $\text{Co}_3\text{O}_4$  纳米颗粒, 粒径约为 85 nm。深黑色方形大颗粒周围较为均匀地分布着大量浅灰色  $\text{TiO}_2$  纳米颗粒, 粒径在 10 nm 左右。图 3(b)为  $\text{TiO}_2/\text{Co}_3\text{O}_4$  复合纳米颗粒的界面 TEM 照片, 可以看出大量  $\text{TiO}_2$  纳米颗粒与  $\text{Co}_3\text{O}_4$  大颗粒有明显的交界。图 3(c)为  $\text{TiO}_2/\text{Co}_3\text{O}_4$  复合纳米颗粒的界面 HRTEM 照片, 虚线左边的深色大颗粒测得晶面间距为 0.291 nm, 与尖晶石型  $\text{Co}_3\text{O}_4$  的(220)晶面间距一致, 说明大颗粒为  $\text{Co}_3\text{O}_4$  纳米颗粒<sup>[13]</sup>; 虚线右边的一个浅色小颗粒测得晶面间距为 0.351 nm, 与锐钛矿型  $\text{TiO}_2$  的(101)晶面间距一致, 说明小颗粒为  $\text{TiO}_2$  纳米颗粒<sup>[14]</sup>。 $\text{TiO}_2/\text{Co}_3\text{O}_4$  复合纳米颗粒的 TEM 和 HRTEM 照片分析表明, 制备了具有良好形貌的  $\text{TiO}_2/\text{Co}_3\text{O}_4$  复合纳米颗粒。

图 4 给出了  $\text{Co}_3\text{O}_4$ 、 $\text{TiO}_2$  和  $\text{TiO}_2/\text{Co}_3\text{O}_4$  纳米颗粒的紫外-可见光谱图, 从图中可以看出,  $\text{Co}_3\text{O}_4$  在波长为 350~800 nm 的可见光区域里有最强的吸收性能,  $\text{TiO}_2$  则在紫外区域尤其是在波长小于 300 nm 的光谱范围内有最强的吸收性能。 $\text{TiO}_2/\text{Co}_3\text{O}_4$  复合纳米颗粒兼具两种颗粒吸收性能的优点, 在紫外-可见光谱范围内均有较好的吸收性能, 说明引入  $\text{Co}_3\text{O}_4$  有效提高了  $\text{TiO}_2$  在可见光范围内的吸收性能。

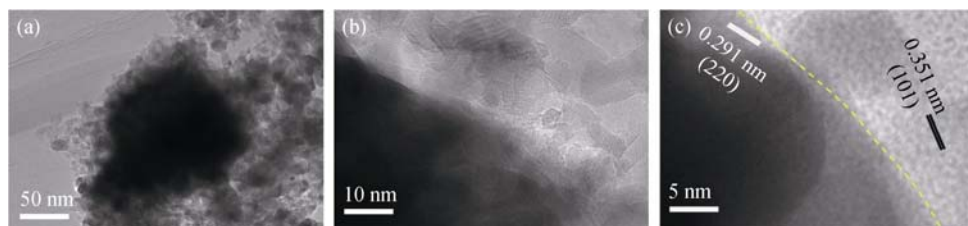


图 3  $\text{TiO}_2/\text{Co}_3\text{O}_4$  复合纳米颗粒不同放大倍率的 TEM 照片(a, b)和 HRTEM 照片(c)

Fig. 3 Different magnification TEM images (a, b), and HRTEM image (c) of  $\text{TiO}_2/\text{Co}_3\text{O}_4$  nanocomposites

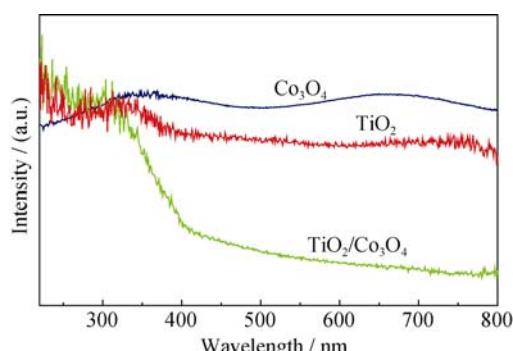


图 4  $\text{Co}_3\text{O}_4$ 、 $\text{TiO}_2$  和  $\text{TiO}_2/\text{Co}_3\text{O}_4$  纳米颗粒的紫外可见光谱图

Fig. 4 UV-Vis spectra of  $\text{Co}_3\text{O}_4$ ,  $\text{TiO}_2$  and  $\text{TiO}_2/\text{Co}_3\text{O}_4$  nanoparticles

## 2.2 光催化制氢性能

$\text{Co}_3\text{O}_4$ 、 $\text{TiO}_2$  和  $\text{TiO}_2/\text{Co}_3\text{O}_4$  复合纳米颗粒光解纯水制氢性能如图 5 所示, 从图中可以看出, 0.02 g 的  $\text{TiO}_2/\text{Co}_3\text{O}_4$  复合纳米颗粒在模拟太阳光下经过 6 h 可以催化产生约 0.99  $\mu\text{mol}$  的氢气, 产生氢气的速率约为 8.25  $\mu\text{mol}/(\text{g}\cdot\text{h})$ 。而作为对比的  $\text{Co}_3\text{O}_4$  在相同条件下经过 6 h 可以催化产生的氢气约为 0.42  $\mu\text{mol}$ , 产生氢气的速率约为 3.5  $\mu\text{mol}/(\text{g}\cdot\text{h})$ 。 $\text{TiO}_2$  在此条件下则几乎不能催化产生氢气。随着照射时间的增加,  $\text{TiO}_2/\text{Co}_3\text{O}_4$  复合纳米颗粒产生的氢气量逐渐减少, 这可能是由于产生的部分氢气不断积累吸附在  $\text{TiO}_2/\text{Co}_3\text{O}_4$  表面上。

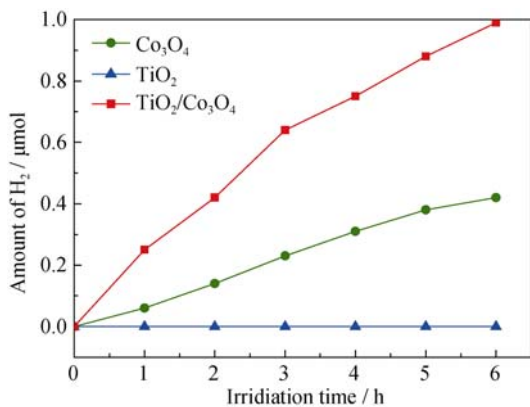


图 5 Co<sub>3</sub>O<sub>4</sub>、TiO<sub>2</sub> 和 TiO<sub>2</sub>/Co<sub>3</sub>O<sub>4</sub> 复合纳米颗粒的光催化制氢性能

Fig. 5 Photocatalytic hydrogen evolution over Co<sub>3</sub>O<sub>4</sub>, TiO<sub>2</sub> and TiO<sub>2</sub>/Co<sub>3</sub>O<sub>4</sub> nanocomposites

Co<sub>3</sub>O<sub>4</sub> 复合纳米颗粒表面，阻隔了复合纳米颗粒与水分子的接触，减少了光催化反应的发生，从而导致氢气产量不断下降。

图 6 给出了 TiO<sub>2</sub>/Co<sub>3</sub>O<sub>4</sub> 复合纳米颗粒的光催化制氢循环测试结果。经过 5 轮每轮 6 h 测试，产生氢气的量依次为 0.99、0.96、0.95、0.92 和 0.90 μmol，产生氢气的速率变化为 8.25、8.00、7.92、7.67 和 7.50 μmol/(g·h)。每轮氢气的产率相对于上轮的产率分别为 96.97%，99.00%，96.84% 和 97.78%，可以看出氢气的产率下降很小，且在一定范围内波动，说明 TiO<sub>2</sub>/Co<sub>3</sub>O<sub>4</sub> 复合纳米颗粒作为光催化剂分解水制氢具有良好的可重复利用性。

### 3 结论

通过碳辅助法和溶胶-凝胶法制备了具有可见

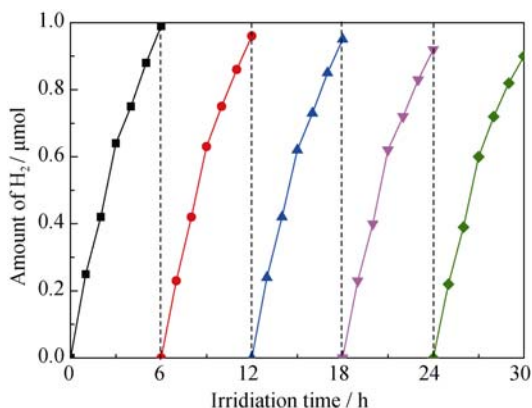


图 6 TiO<sub>2</sub>/Co<sub>3</sub>O<sub>4</sub> 复合纳米颗粒的光催化制氢循环测试结果

Fig. 6 Cycling photocatalytic hydrogen evolution over TiO<sub>2</sub>/Co<sub>3</sub>O<sub>4</sub> nanocomposites

光下光催化制氢性能的 TiO<sub>2</sub>/Co<sub>3</sub>O<sub>4</sub> 复合纳米颗粒。XRD、TEM、HRTEM 和紫外可见光谱表征结果证明，制备的复合纳米颗粒具有良好的晶型、结构以及紫外可见光吸收能力。光催化制氢实验结果表明，在模拟太阳光照射下，该复合纳米颗粒催化纯水产氢气的速率约为 8.25 μmol/(g·h)，且该复合纳米颗粒具有良好的可重复利用性。

### 参考文献：

- [1] YU Y G, CHEN G, ZHOU Y S, et al. Recent advances in rare-earth elements modification of inorganic semiconductor-based photocatalysts for efficient solar energy conversion: a review. *Journal of Rare Earths*, 2015, **33**(5): 453–462.
- [2] LI X H, FAN T X. Artificial photosynthesis. *Progress in Chemistry*, 2011, **23**(9): 1842–1853.
- [3] COLMENARES J C, LUQUE R. Heterogeneous photocatalytic nanomaterials: prospects and challenges in selective transformations of biomass-derived compounds. *Chemical Society Reviews*, 2014, **43**(3): 765–778.
- [4] WEN F, SHANG G. Photocatalytic hydrogen evolution from water on nanocomposites incorporating cadmium sulfide into the interlayer. *The Journal of Physical Chemistry B*, 2002, **106**(47): 12227–12230.
- [5] ZHANG D, YANG M. Band structure engineering of TiO<sub>2</sub> nanowires by n-p co-doping for enhanced visible-light photoelectrochemical water-splitting. *Physical Chemistry Chemical Physics*, 2013, **15**(42): 18523–18529.
- [6] MELVIN A A, ILLATH K, DAS T, et al. M-Au/TiO<sub>2</sub> (M=Ag, Pd, and Pt) nanophotocatalyst for overall solar water splitting: role of interfaces. *Nanoscale*, 2015, **7**(32): 13477–13488.
- [7] DHANALAKSHMI K B, LATHA S, ANANDAN S, et al. Dye sensitized hydrogen evolution from water. *International Journal of Hydrogen Energy*, 2001, **26**(7): 669–674.
- [8] DHAS R C, VENKATESH R, JOTHIVENKATACHALAM K, et al. Visible light driven photocatalytic degradation of Rhodamine B and direct red using cobalt oxide nanoparticles. *Ceramics International*, 2015, **41**(8): 9301–9313.
- [9] DAI G, LIU S, LIANG Y, et al. Synthesis and enhanced photoelectrocatalytic activity of p-n junction Co<sub>3</sub>O<sub>4</sub>/TiO<sub>2</sub> nanotube arrays. *Applied Surface Science*, 2013, **264**(4): 157–161.
- [10] WANG Y F, HSIEH M C, LEE J F, et al. Nonaqueous synthesis of Co<sub>3</sub>O<sub>4</sub>/TiO<sub>2</sub> nanocomposites showing high photocatalytic activity of hydrogen generation. *Applied Catalysis B: Environmental*, 2013, **142**–**143**(5): 626–632.
- [11] CHEN Z, CHEN S, LI Y, et al. A recyclable and highly active Co<sub>3</sub>O<sub>4</sub> nanoparticles/titanate nanowire catalyst for organic dyes degradation with peroxymonosulfate. *Materials Research Bulletin*, 2014, **57**: 170–176.
- [12] LIU C, WANG L, TANG Y, et al. Vertical single or few-layer MoS<sub>2</sub> nanosheets rooting into TiO<sub>2</sub> nanofibers for highly efficient photocatalytic hydrogen evolution. *Applied Catalysis B: Environmental*, 2015, **164**: 1–9.
- [13] BAI B, ARANDIYAN H, LI J. Comparison of the performance for oxidation of formaldehyde on nano-Co<sub>3</sub>O<sub>4</sub>, 2D-Co<sub>3</sub>O<sub>4</sub>, and 3D-Co<sub>3</sub>O<sub>4</sub> catalysts. *Applied Catalysis B: Environmental*, 2013, **142**–**143**(5): 677–683.
- [14] CHEN Y W, CHEN H J, LEE D S. Au/Co<sub>3</sub>O<sub>4</sub>-TiO<sub>2</sub> catalysts for preferential oxidation of CO in H<sub>2</sub> stream. *Journal of Molecular Catalysis A: Chemical*, 2012, **363**–**364**: 470–480.